

O VETOR DE LAPLACE-RUNGE-LENZ NO PROBLEMA DE KEPLER PERTURBADO

C. Farina

MESTRADO PROFISSIONAL EM ENSINO DE FÍSICA

Universidade Federal do Rio de Janeiro

13 de outubro de 2008

Roteiro da Apresentação

1. **Introdução e objetivos**
2. **Forças centrais e o problema de Kepler**
3. **Vetor de Laplace-Runge-Lenz**
4. **Teorema de Bertrand**
5. **Precessão no problema de Kepler perturbado**
6. **Comentários finais e perspectivas**

1 Introdução e objetivos

- Por **problema de Kepler**, entendemos o problema da gravitação universal, no qual uma partícula está sob a ação de uma **força central** cujo módulo varia com o **inverso do quadrado da distância** da partícula ao centro de força.
- Sua história começa na antiguidade; explicar o cosmos sempre foi um desejo dos filósofos antigos e, mais recentemente, dos físicos, matemáticos e astrônomos.
- O problema de Kepler é um dos mais belos de mecânica elementar. Na época de Newton, porém, ele desafiou as mentes mais brilhantes a descobrirem **que lei de força levava às órbitas elípticas**, tão cuidadosamente observadas por Kepler ^a.
- **Teoria da gravitação universal:** Newton aplicou aos céus a mesma física que valia na Terra e chegou na lei do inverso do quadrado.

^aTrata-se de um **problema inverso**: **conhecidas características do movimento, determinar a força**. Outros exemplos são o espalhamento de Rutherford e muitos dos experimentos modernos de física de partículas.

- A teoria de Newton explicava as marés e tinha grande poder de predição: desvios na órbita de **Urano** levaram **Le Verrier** a prever a existência de **Netuno** (1846).
- Mas não foi possível explicar desvios na órbita de Mercúrio (**Le Verrier** 1859) supondo a existência de outro planeta (**Vulcano**). Aqui, **a teoria foi modificada** (foram as correções da **Relatividade Geral** que compatibilizaram a previsão teórica com a **precessão** observada de Mercúrio).
- **Objetivo:** apresentar um método para o cálculo de **velocidades de precessão** no problema de Kepler perturbado e aplicá-lo em várias situações:
 - contribuição da **Relatividade Geral** para a precessão de Mercúrio;
 - efeitos da **resistência do ar** na precessão de satélites terrestres;
 - contribuição newtoniana para a precessão de um dado planeta causada pelos **outros planetas do sistema solar**.
- No entanto, é conveniente começarmos com uma revisão sobre **forças centrais** e **problema de Kepler**, discutirmos brevemente o **Teorema de Bertrand** e, por fim, introduzirmos o chamado vetor de **Laplace-Runge-Lenz**.

2 Forças centrais

- **Força central** é aquela cuja reta suporte passa por um ponto C , **centro de força**, e cujo módulo só depende da distância entre C e a posição da partícula.
- Sendo \mathbf{r} o vetor-posição da partícula num instante e \mathbf{r}_C o vetor-posição de C , uma força central \mathbf{F} é paralela a $\mathbf{r} - \mathbf{r}_C$ e seu módulo só depende de $|\mathbf{r} - \mathbf{r}_C|$.
- Escolhendo, por conveniência, a **origem no centro de força**, temos

$$\mathbf{F} = \mathcal{F}(r)\hat{\mathbf{r}}, \quad (1)$$

onde, como de costume, $\hat{\mathbf{r}}$ significa vetor unitário na direção radial.

- Note que há um **abuso de linguagem** na denominação **força central** para uma força com as características anteriores.
- Partícula sob a ação apenas de uma **força central** \implies **simetria esférica** .
- Forças centrais têm propriedades importantes que simplificam muito o problema de encontrar os movimentos possíveis de uma partícula, como veremos a seguir.

- O torque de uma força central relativo ao **centro de força** é nulo:

$$\boldsymbol{\tau} = \mathbf{r} \times \mathcal{F}(r)\hat{\mathbf{r}} = \mathbf{0}, \quad (2)$$

pois é nulo o produto vetorial de dois vetores paralelos. Uma vez que

$$\boldsymbol{\tau} = \frac{d\boldsymbol{\ell}}{dt}; \quad \text{onde} \quad \boldsymbol{\ell} := \mathbf{r} \times m\mathbf{v}, \quad (3)$$

vemos que *força central* $\implies \boldsymbol{\ell} = \text{cte.}$

Obs: *Por constante de movimento entendemos uma função de \mathbf{r} , \mathbf{v} e t que tem seu valor constante ao longo de um movimento possível da partícula.*

- A constância da **direção** de $\boldsymbol{\ell}$ implica **movimento plano** para a partícula.
- O fato de que o **sentido** de $\boldsymbol{\ell}$ permanece o mesmo garante que o **sentido de giro** da partícula em torno do centro de força é sempre o mesmo.
- A constância do **módulo** de $\boldsymbol{\ell}$ também nos traz uma informação valiosa e de bonita interpretação geométrica, a ser mostrada adiante (**Lei das Áreas**).

- Como o **movimento é plano**, e devido à simetria existente, é conveniente descrevê-lo com as coordenadas polares (r, φ) ,

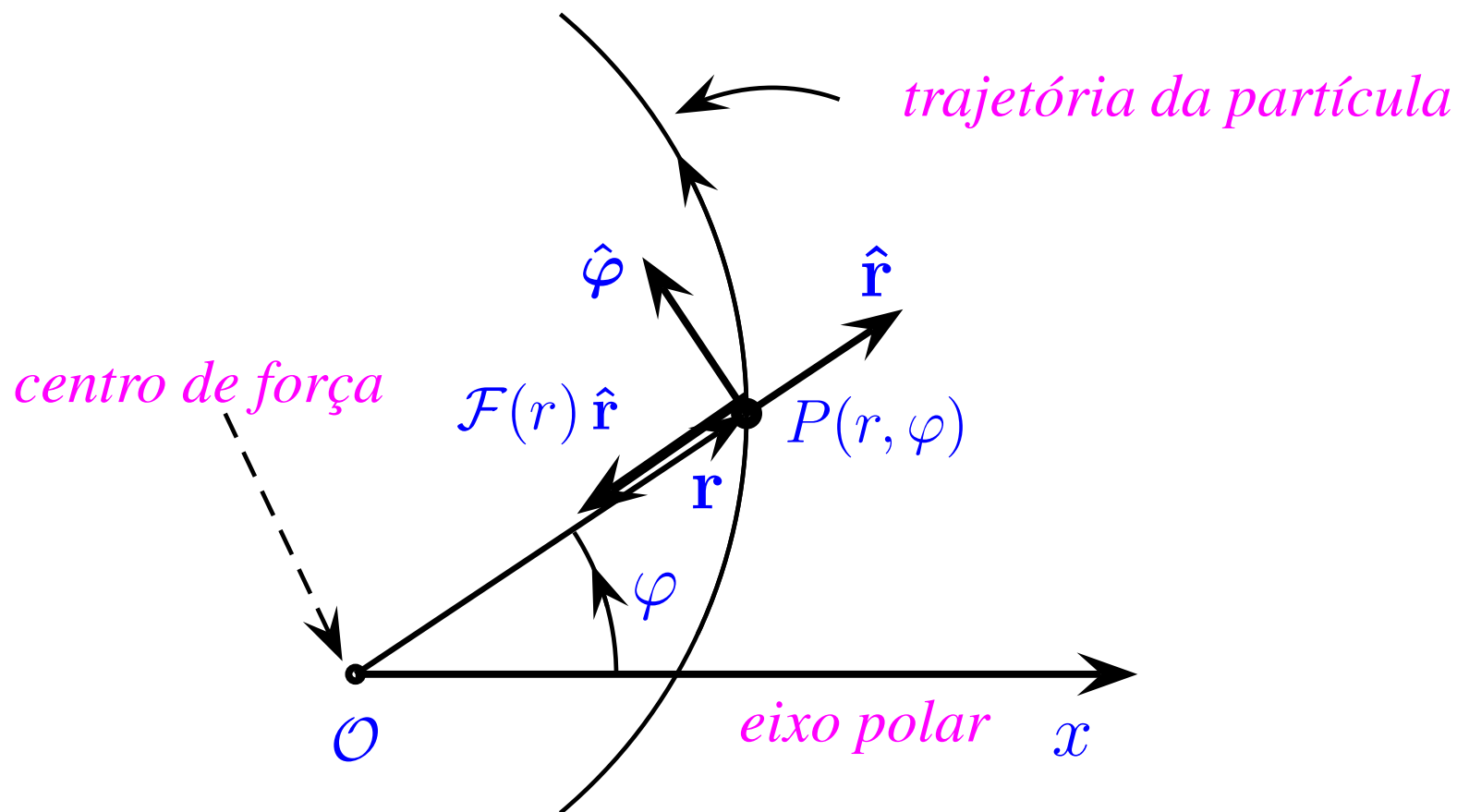


Figura 1: Trajetória genérica da partícula sob a ação de uma **força central** (atrativa).

- O vetor-posição, a velocidade e a aceleração da partícula em termos dos vetores uniários da base polar, $\hat{\mathbf{r}}$ e $\hat{\boldsymbol{\varphi}}$ tomam a forma

$$\mathbf{r} = r\hat{\mathbf{r}} \quad (4)$$

$$\mathbf{v} = \dot{r}\hat{\mathbf{r}} + r\dot{\varphi}\hat{\boldsymbol{\varphi}} \quad (5)$$

$$\mathbf{a} = (\ddot{r} - r\dot{\varphi}^2)\hat{\mathbf{r}} + (2\dot{r}\dot{\varphi} + r\ddot{\varphi})\hat{\boldsymbol{\varphi}}. \quad (6)$$

- O **momento angular** da partícula relativo à origem é dado, então, por

$$\mathbf{l} = r\hat{\mathbf{r}} \times m(\dot{r}\hat{\mathbf{r}} + r\dot{\varphi}\hat{\boldsymbol{\varphi}}) = mr^2\dot{\varphi}\hat{\mathbf{z}}, \quad (7)$$

onde definimos $\hat{\mathbf{z}} = \hat{\mathbf{r}} \times \hat{\boldsymbol{\varphi}}$. Sem perda de generalidade, podemos considerar $\dot{\varphi} > 0$. Com isso, o módulo do momento angular da partícula relativo à origem é dado, em coordenadas polares, por

$$l := mr^2\dot{\varphi} \quad \implies \quad \dot{\varphi} = \frac{l}{mr^2}. \quad (8)$$

- Suporemos, neste trabalho, que $l \neq 0$, de modo que $\dot{\varphi} \neq 0$. No caso em que $l = 0$, os movimentos possíveis são **retilíneos e radiais**.
- A **constância** de l tem uma interpretação geométrica simples. A Figura 2 mostra as posições da partícula em dois instantes muito próximos, t e $t + \varepsilon$.

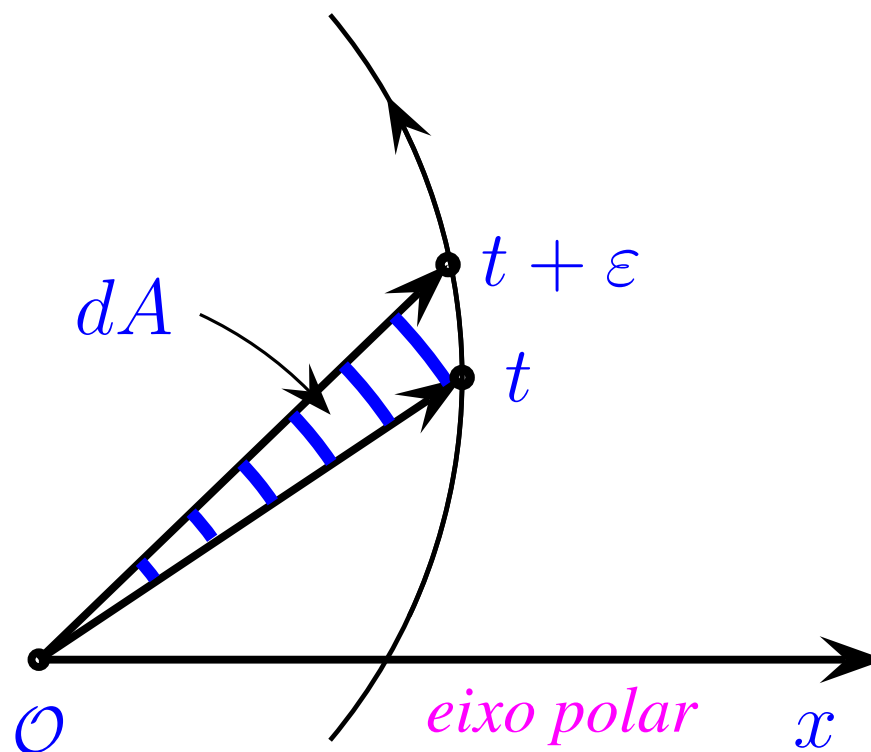


Figura 2: Área infinitesimal dA varrida por \mathbf{r} entre os instantes t e $t + \varepsilon$.

- Uma inspeção na figura anterior mostra que a área dA varrida por \mathbf{r} no intervalo de tempo de duração ε é dada por (área do “triângulo” hachurado)

$$dA = \frac{1}{2}r^2 d\varphi, \quad (9)$$

de modo que

$$\frac{dA}{dt} = \frac{1}{2}r^2 \dot{\varphi} = \frac{\ell}{2m}. \quad (10)$$

Observe que $\frac{dA}{dt}$ (chamada **velocidade areolar**) é proporcional ao módulo do momento angular da partícula.

- Como $\ell = Cte$, o raio vetor da partícula varre áreas iguais em tempos iguais, resultado conhecido como **Lei das Áreas** ou **Segunda Lei de Kepler**.
- Para um mesmo Δt , o ângulo varrido pelo raio vetor da partícula quando ela está longe da origem é menor do que quando está perto (como mostra a **Figura 3**)

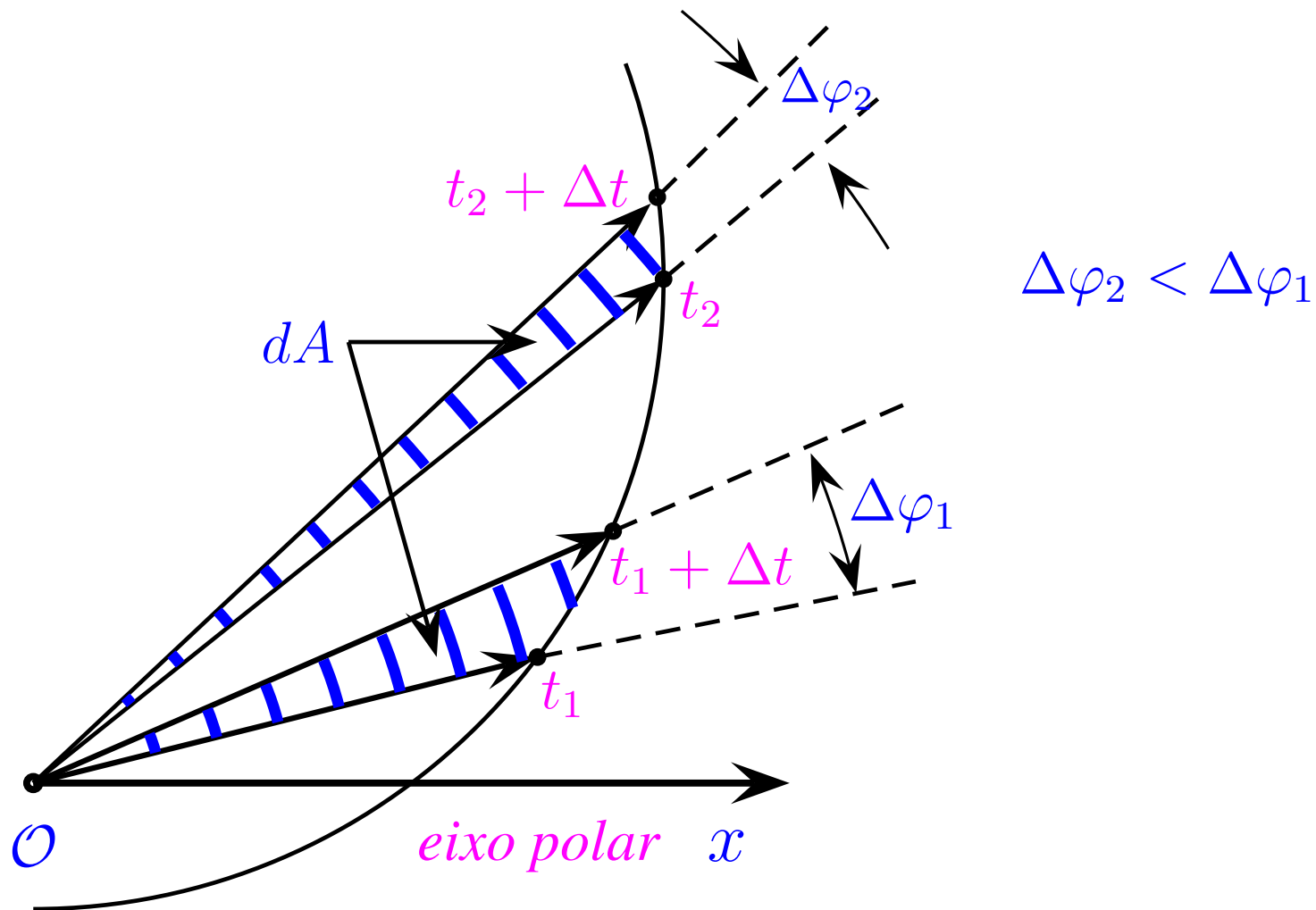


Figura 3: Como a área varrida entre t_1 e $t_1 + \Delta t$ é a mesma que a varrida entre t_2 e $t_2 + \Delta t$, o ângulo $\Delta\varphi_2$ é **menor** do que o ângulo $\Delta\varphi_1$, pois em t_2 a partícula está mais **afastada** da origem.

- Toda força central é conservativa (**a recíproca não é verdadeira**),

$$U(B) - U(A) = - \int_A^B \mathbf{F} \cdot d\mathbf{r} = - \int_{r_A}^{r_B} \mathcal{F}(r) dr . \quad (11)$$

Dada uma força conservativa, a **diferença** de energia potencial fica univocamente determinada, mas não o valor da energia potencial em um ponto.

- Para especificarmos $U(P)$, devemos escolher um ponto-padrão, P_0 , e arbitrar um valor para $U(P_0)$ (mas o que importa são **variações** de U e não os valores de U).
- Na **versão diferencial**: $dU = -\mathbf{F} \cdot d\mathbf{r} = -\mathcal{F}(r)dr \implies \mathcal{F}(r) = -dU/dr$
A relação entre uma **força central** \mathbf{F} e a energia potencial associada é, então,

$$\mathbf{F} = -\frac{dU(r)}{dr} \hat{\mathbf{r}} . \quad (12)$$

Para uma **força não-central**, mas ainda **conservativa**, temos,

$$\mathbf{F} = -\nabla U . \quad (13)$$

No caso particular de uma força central, U é uma função apenas de r , de modo que $\nabla U = (dU/dr)\hat{\mathbf{r}}$ e recaímos na equação (12).

- Quando **só realizam trabalho forças conservativas**, a soma da energia cinética com a potencial (energia mecânica da partícula) é uma constante de movimento,

$$E = \frac{1}{2}m\mathbf{v}^2 + U = Cte. \quad (14)$$

No caso em questão, em que a **força resultante é central**, escrevemos

$$E = \frac{1}{2}m\dot{r}^2 + \frac{1}{2}mr^2\dot{\varphi}^2 + U(r) \quad (15)$$

2.1 Energia potencial efetiva

- Trata-se de uma quantidade muito útil na **discussão qualitativa** dos movimentos possíveis de uma partícula sob a ação unicamente de uma força central.
- Conveniente no estudo do **movimento planetário**: órbitas limitadas ou ilimitadas, estabilidade de órbitas circulares, oscilações radiais, etc.

- Para movimentos sob a ação de uma força central, o **movimento radial** pode ser estudado de forma análoga à descrita para movimentos unidimensionais:

$$\frac{1}{2}m\dot{r}^2 = E - \left(U(r) + \frac{1}{2}mr^2\dot{\varphi}^2 \right) = E - \left(U(r) + \frac{\ell^2}{2mr^2} \right), \quad (16)$$

onde usamos a relação $\dot{\varphi} = \ell/mr^2$. Definimos **energia potencial efetiva** como

$$U_{ef}(r) := U(r) + \frac{\ell^2}{2mr^2}. \quad (17)$$

É justamente $U_{ef}(r)$, e não $U(r)$, que desempenha para o movimento radial um papel análogo ao desempenhado por $U(x)$ em movimentos unidimensionais.

- Pode-se mostrar que o movimento radial é descrito pela equação diferencial

$$m\ddot{r} = \mathcal{F}_{ef}(r), \quad \text{onde} \quad \mathcal{F}_{ef}(r) := -\frac{dU_{ef}(r)}{dr} = \mathcal{F}(r) + \frac{\ell^2}{mr^3} \quad (18)$$

é chamada **força efetiva**. Ou seja, é $-dU_{ef}(r)/dr$, e não $-dU(r)/dr$, que desempenha o papel da força no movimento radial.

- O termo ℓ^2/mr^3 tem o efeito de uma **força centrífuga** no movimento radial da partícula. A esse termo corresponde, na energia potencial efetiva, o termo $\ell^2/2mr^2$, chamado **barreira centrífuga**.
- A barreira centrífuga se opõe à aproximação da partícula ao centro de força. Essa oposição desaparece com $\ell = 0$, mas para $\ell \neq 0$ ela impede a partícula de passar pelo centro (a menos que $U(r)$ tenha um termo que vença a ação da barreira).
- **Região classicamente permitida:** $E \geq U_{ef}(r)$.
- Nos pontos em que $U_{ef}(r) = E$ a componente **radial** da velocidade da partícula é nula (**pontos de retorno**). Porém, como $\ell \neq 0$, a velocidade da partícula não é nula nos pontos de retorno, pois $\dot{\varphi} \neq 0$ (a partícula continua orbitando).
- A **Figura 4** mostra o gráfico de uma energia potencial efetiva $U_{ef}(r)$ versus r que apresenta um **poço de potencial** e cujas órbitas podem ser **limitadas** ou **ilimitadas**, dependendo do valor da energia mecânica da partícula.

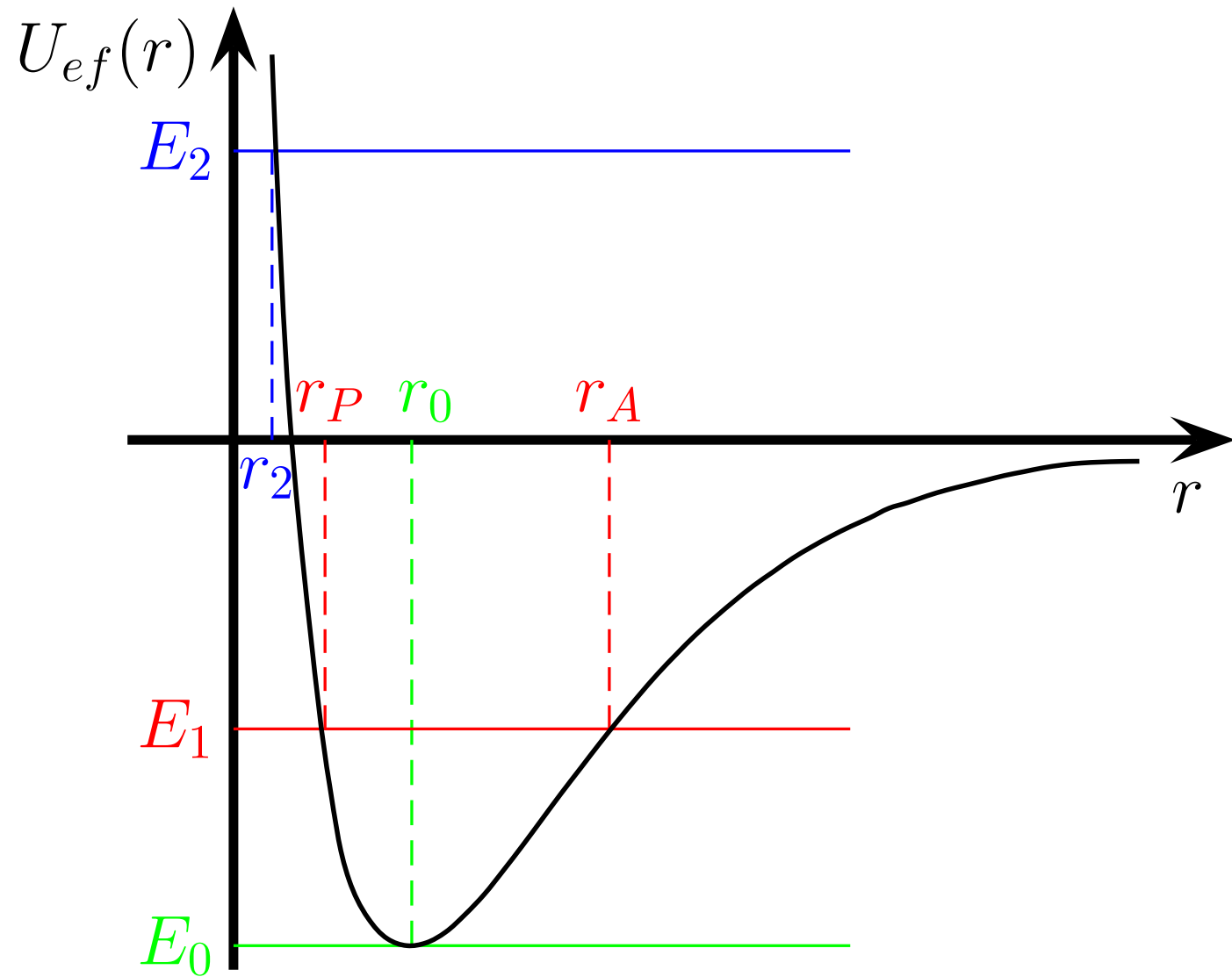


Figura 4: **Energia potencial efetiva** que permite órbita **circular**, órbitas **limitadas não-circulares** e órbitas **ilimitadas**.

- $E = E_1$: movimentos possíveis ocorrem entre r_P (**pericentro**) e r_A (**apocentro**). A velocidade angular máxima ocorre no pericentro e a mínima, no apocentro.
- $E = E_2$: só há um ponto de retorno, r_2 ; os movimentos possíveis da partícula são **ilimitados** e sua distância à origem nunca fica inferior r_2 .
- $E = E_0$: movimento circular de raio r_0 , com velocidade de módulo ℓ/mr_0 .
- No exemplo em consideração, podemos afirmar que para $E_0 \leq E < 0$ as órbitas são **limitadas**, enquanto para $E \geq 0$ elas são **ilimitadas**.
- A **Figura 5** ilustra uma órbita **limitada** na qual $E = E_1$. Note que a partícula nunca se aproxima da origem mais do que r_P e nunca se afasta mais do que r_A .
- É oportuno ressaltar que uma órbita limitada não é , necessariamente, fechada.

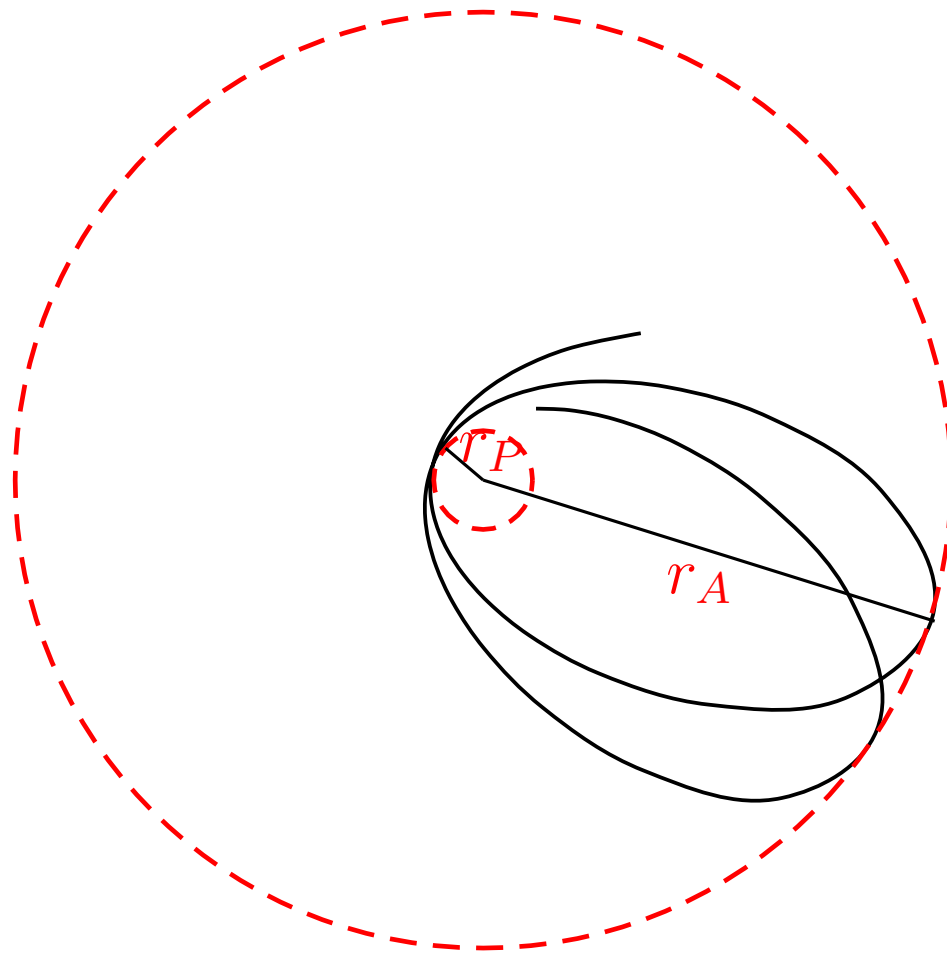


Figura 5: Órbita **limitada**, mas **não necessariamente fechada**. A partícula se move mantendo sempre uma distância finita à origem e de tal forma que $r_P \leq r \leq r_A$.

- A condição de movimento circular pode ser escrita na forma:

$$U'_{ef}(r_0) = 0 \quad \Longrightarrow \quad U'(r_0) = \frac{\ell^2}{mr_0^3}. \quad (19)$$

- **Oscilações radiais em torno de r_0 :** se a energia for ligeiramente superior a $U_{ef}(r_0)$, a partícula executará pequenas oscilações radiais em torno de $r = r_0$ com período $T_r = 2\pi/\omega_r$, onde a frequência angular das oscilações é dada por

$$\omega_r := \sqrt{\left. \frac{1}{m} \frac{d^2 U_{ef}(r)}{dr^2} \right|_{r=r_0}}. \quad (20)$$

- **Movimento radial para qualquer E :** da conservação da energia temos

$$\int_{r_i}^r \frac{dr'}{\sqrt{E - U_{ef}(r')}} = \pm \sqrt{\frac{2}{m}} t, \quad (21)$$

onde r_i é a distância entre a partícula e a origem no instante $t_i = 0$. De (21) obtemos $t(r)$ que, cuidadosamente invertida, nos fornece $r(t)$.

- De posse de $r(t)$, podemos utilizar a equação $\dot{\varphi} = \ell/mr^2$ a fim de obter a relação entre o ângulo polar varrido pela partícula e o tempo:

$$\varphi(t) = \varphi_i + \int_0^t \frac{\ell/m}{[r(t')]^2} dt' , \quad (22)$$

onde φ_i é o ângulo polar no instante $t_i = 0$. Desse modo, a solução completa do problema fica reduzida às duas quadraturas (21) e (22).

- **Período das oscilações radiais para qualquer valor de E :** supondo que r varie periodicamente com o tempo entre os valores r_P e r_A , é fácil mostrar que

$$\tau_r = \sqrt{2m} \int_{r_P}^{r_A} \frac{dr'}{\sqrt{E - U_{ef}(r')}} . \quad (23)$$

- *Um movimento radial periódico não significa que o movimento da partícula seja periódico. Para que isso ocorra, é necessário que a razão entre os períodos de revolução τ_φ e de oscilação radial τ_r seja um número racional.*

- Muitas vezes só queremos obter a equação polar da trajetória. Para relacionarmos diretamente r e φ , utilizamos a equação $\dot{\varphi} = \ell/mr^2$ para eliminarmos $\dot{\varphi}$ em favor de r e transformar derivadas temporais como segue

$$\frac{dr}{dt} = \frac{d\varphi}{dt} \frac{dr}{d\varphi} = \frac{\ell}{mr^2} \frac{dr}{d\varphi}, \quad (24)$$

Substituindo esse resultado em $E = (1/2)m\dot{r}^2 + U_{ef}(r)$, eliminamos o tempo dessa equação e a reescrevemos na forma

$$E = \frac{\ell^4}{2mr^4} \left(\frac{dr}{d\varphi} \right)^2 + U_{ef}(r). \quad (25)$$

Embora essa equação diferencial seja **não-linear**, é de primeira ordem, o que nos permite calcular φ em função de r por uma simples quadratura,

$$\varphi - \varphi_i = \int_{r_i}^r \frac{\ell dr'}{r'^2 \sqrt{2m[E - U_{ef}(r')]}}, \quad (26)$$

2.2 Problema de Kepler

- Nesse caso, temos $U(r) = -k/r$, onde $k = GMm$, sendo G a constante da gravitação, M a massa do Sol e m a do planeta em consideração.
- Para nossos propósitos, como $m/M \ll 1$, consideraremos o Sol fixo na origem.

Obs: para levarmos em conta o movimento do Sol, basta trabalhar com o conceito de *massa reduzida do sistema*.

Usando, na equação anterior, o fato de que $U_{ef}(r) = -k/r + \ell^2/2mr^2$ e, em seguida, fazendo a transformação de variável $r' = 1/u'$, obtemos

$$\begin{aligned}\varphi - \varphi_i &= - \int_{u_i}^u \frac{\ell du'}{\sqrt{2mE + 2mku' - \ell^2 u'^2}} \\ &= - \int_{u_i}^u \frac{\ell du'}{\sqrt{\left(\frac{mk\varepsilon}{\ell^2}\right)^2 - \left(u' - \frac{mk}{\ell^2}\right)^2}},\end{aligned}\tag{27}$$

onde definimos o parâmetro

$$\varepsilon = \sqrt{1 + \frac{2E\ell^2}{mk^2}}, \quad (28)$$

cuja interpretação ficará evidente mais adiante. A equação (27) nos sugere a seguinte transformação de variável de integração:

$$u' - \frac{mk}{\ell^2} = \frac{mk\varepsilon}{\ell^2} \cos\alpha' \quad \Longrightarrow \quad \alpha' = \cos^{-1} \left[\frac{\ell^2}{mk\varepsilon} \left(u' - \frac{mk}{\ell^2} \right) \right], \quad (29)$$

o que nos leva ao resultado

$$\varphi - \varphi_i = - \int_{\alpha_i}^{\alpha} \frac{-(mk\varepsilon/\ell^2) \operatorname{sen}\alpha' \alpha'}{(mk\varepsilon/\ell^2) (1 - \cos\alpha')^{1/2}} = \int_{\alpha_i}^{\alpha} d\alpha' = \alpha - \alpha_i, \quad (30)$$

ou seja,

$$\varphi + \alpha_i - \varphi_i = \alpha = \cos^{-1} \left[\frac{\ell^2}{mk\varepsilon} \left(u - \frac{mk}{\ell^2} \right) \right]. \quad (31)$$

Lembrando que $u = 1/r$, escrevemos

$$\frac{1}{r} - \frac{mk}{\ell^2} = \frac{mk\varepsilon}{\ell^2} \cos(\varphi + \alpha_i - \varphi_i). \quad (32)$$

Escolhendo $\alpha_i - \varphi_i = 0$ (**eixo polar** como o **eixo de simetria da órbita**), obtemos,

$$r(\varphi) = \frac{\ell^2/mk}{1 + \varepsilon \cos\varphi}. \quad (33)$$

Trata-se da equação polar de uma **cônica** de excentricidade ε com **um dos focos** localizados **na origem** do eixo polar. Pode-se mostrar que

$$\begin{aligned} \varepsilon = 0 & \iff E = -\frac{mk^2}{2\ell^2}; \quad \textit{órbita circular} \\ 0 < \varepsilon < 1 & \iff -\frac{mk^2}{2\ell^2} < E < 0; \quad \textit{órbitas elípticas} \\ \varepsilon = 1 & \iff E = 0; \quad \textit{órbita parabólica} \\ \varepsilon > 1 & \iff E > 0; \quad \textit{órbitas hiperbólicas}. \end{aligned} \quad (34)$$

2.3 Equação da órbita

- Em vez de determinarmos $r(t)$ e $\varphi(t)$, resolvendo as Eq(s) diferenciais de movimento, eliminamos t e obtemos uma Eq. diferencial para $r(\varphi)$. Usando

$$\dot{r} = \frac{dr}{d\varphi} \dot{\varphi} = \frac{\ell}{mr^2} \frac{dr}{d\varphi} \quad \text{e} \quad \ddot{r} = \frac{\ell^2}{m^2 r^4} \frac{d^2 r}{d\varphi^2} - \frac{2\ell^2}{m^2 r^5} \left(\frac{dr}{d\varphi} \right)^2, \quad (35)$$

obtemos a equação diferencial da órbita,

$$\frac{d^2 r}{d\varphi^2} - \frac{2}{r} \left(\frac{dr}{d\varphi} \right)^2 = r + \frac{mr^4}{\ell^2} \mathcal{F}(r). \quad (36)$$

- Com a mudança de variável $u = 1/r$ a equação anterior toma forma

$$\frac{d^2 u}{d\varphi^2} + u = -\frac{m}{\ell^2 u^2} \mathcal{F} \left(\frac{1}{u} \right), \quad (37)$$

conhecida como **equação de Babinet**. As soluções $u(\varphi) = 1/r(\varphi)$ dessa equação dão as órbitas possíveis da partícula sob a ação da força central em consideração.

- No problema de Kepler $\mathcal{F}(1/u) = -ku^2$. Nesse caso, a Eq. da órbita se reduz a

$$\frac{d^2u}{d\varphi^2} + u = \frac{mk}{\ell^2}. \quad (38)$$

cujas soluções, quando escritas em termos de ℓ e E , são da forma dada por (33).

- No problema de um OH isotrópico $\mathcal{F}(1/u) = -k/u$. Nesse caso, temos

$$\frac{d^2u}{d\varphi^2} + u = \frac{mk}{\ell^2 u^3}. \quad (39)$$

Como no caso das órbitas (**limitadas**) do problema de Kepler, as soluções dessa equação **também são elipses**, porém, com o seu **centro geométrico**, e não um de seus focos, localizados **na origem**.

- Conhecida a expressão para $r(\varphi)$, a conservação de ℓ nos permite escrever

$$\int_{\varphi_i}^{\varphi} [r(\varphi')]^2 d\varphi' = \frac{\ell}{m} (t - t_i), \quad (40)$$

equação que nos fornece, implicitamente, uma expressão para $\varphi(t)$.

3 Teorema de Bertrand

- Uma órbita limitada não é necessariamente fechada. Surge a pergunta: **que potenciais centrais têm *todas* as órbitas limitadas são fechadas?**
- A palavra “**todas**” é fundamental, pois dependendo das condições iniciais podemos encontrar órbitas fechadas para uma infinidade de potenciais
- A resposta foi dada por J. L. F. Bertrand (1822-1900) em 1873, resultado conhecido como nome **Teorema de Bertrand**:

As únicas forças centrais para as quais todas as órbitas limitadas são fechadas são $\mathbf{F} = -(k/r^2)\hat{\mathbf{r}}$ e $\mathbf{F} = -kr\hat{\mathbf{r}}$, com $k > 0$ (ou seja, problemas de Kepler ou do oscilador harmônico isotrópico).

- **Em geral**, as demonstrações existentes usam métodos **perturbativos** (para uma demonstração **não-perturbativa** veja F. Santos *et al*, [Arxiv: 0809.2069 \(2008\)](#)).
- Não demonstraremos esse teorema, mas faremos alguns comentários relevantes.

- Consideremos uma órbita (limitada) genérica que ocorre entre r_{min} , e r_{max} .
- Desenhemos uma órbita que facilitasse a visualização de $\Delta\varphi_1$, $\Delta\varphi_2$ e $\Delta\varphi$.

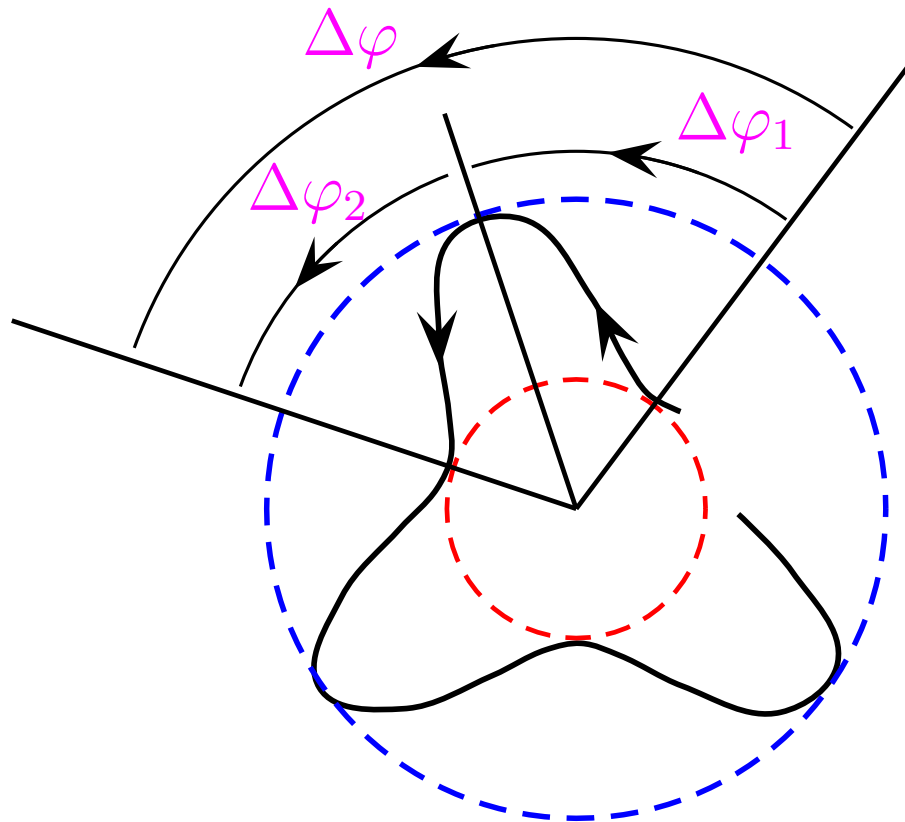


Figura 6: Ângulo $\Delta\varphi$ varrido pelo raio vetor da partícula entre dois pericentros consecutivos. Note que na órbita desenhada há uma **inversão na concavidade**, o que é possível desde que na força haja um termo **repulsivo** que domine a **curtas distâncias**.

- O ângulo subtendido por dois pericentros (ou apocentros) consecutivos é

$$\Delta\varphi := \Delta\varphi_1 + \Delta\varphi_2. \quad (41)$$

Pode-se mostrar que $\Delta\varphi_1 = \Delta\varphi_2$. Com isso, usando a equação (26), obtemos

$$\Delta\varphi = 2 \int_{r_{min}}^{r_{max}} \frac{\ell dr}{r^2 \sqrt{2m[E - U_{ef}(r)]}} = 2 \int_{u_{min}}^{u_{max}} \frac{\ell du}{\sqrt{2m[E - W(u)]}}, \quad (42)$$

onde $u = 1/r$ e definimos a função W por

$$W(u) := U_{ef} \left(\frac{1}{u} \right) = \frac{\ell^2 u^2}{2m} + U \left(\frac{1}{u} \right). \quad (43)$$

- Note que $\Delta\varphi$ é o deslocamento angular da partícula em torno do centro de força ocorrido durante uma oscilação radial (de r_{min} até r_{max} e de volta até r_{min}).
- Uma órbita limitada é **fechada** se, e somente se, após n oscilações radiais da partícula seu deslocamento angular é n' vezes 2π radianos ($n, n' = 1, 2, \dots$)

$$n\Delta\varphi = n'2\pi \quad \implies \quad \Delta\varphi = \frac{n'}{n}2\pi =: \frac{2\pi}{q}, \quad (44)$$

Essa condição é o ponto de partida das demonstrações do Teorema de Bertrand.

Procedimento perturbativo:

- inicialmente, consideramos um órbita muito próxima de uma circular, isto é, fazemos $E = E_0 + \Delta E$, onde $E_0 = U_{ef}(r_0)$, sendo r_0 um mínimo de U_{ef} .
- Expandindo $W(u)$ em torno de $u = u_0 := 1/r_0$ e mantendo termos somente até a ordem quadrática em $u - u_0$, ou seja,

$$E - W(u) = E_0 + \Delta E - W(u_0) - W'(u_0)(u - u_0) - \frac{1}{2}W''(u_0)(u - u_0)^2, \quad (45)$$

pode-se mostrar, após “algumas” manipulações, que a condição $\Delta\varphi = 2\pi/q$, ($q \in Q^*$), exige que os potenciais admissíveis sejam da forma

$$U(r) = \kappa r^{q^2 - 2}; \quad q \in Q^*, \quad (46)$$

$\kappa < 0$ para $0 < q^2 < 2$ e $\kappa > 0$ para $q^2 > 2$ (2 famílias de energias potenciais).

- $\kappa < 0$ e $0 < q^2 < 2$: **nem todas as órbitas possíveis são limitadas.** Para $E \geq 0$ as órbitas são ilimitadas.
- $\kappa > 0$ e $q^2 > 2$: **todas as órbitas são limitadas.** A energia mecânica é sempre positiva e pode, em princípio, assumir valores indefinidamente grandes.
- **Maiores restrições** nos potenciais exige **ordens mais altas de perturbação.**
- Pode-se mostrar que, ao incluirmos os termos de **terceira** ordem em $u - u_0$, **nenhuma restrição adicional** aparece.
- No entanto, se formos até **quarta** ordem em $u - u_0$, sobrevivem **apenas** os potenciais de **Kepler** e do **oscilador harmônico isotrópico.**
- Como **todas** as órbitas limitadas para esses potenciais já são fechadas, é desnecessário continuar aumentando a ordem de perturbação e fica, então, demonstrado o **Teorema de Bertrand.**

4 O vetor de Laplace-Runge-Lenz

- Pode-se mostrar que, num sistema de n graus de liberdade há $2n$ constantes de movimento **independentes**^a.
- **Pelo menos 1 das constantes de movimento** (dentre o número total de constantes de movimento independentes entre si) **depende explicitamente do tempo**.
- Encontrar uma nova constante de movimento independente das previamente obtidas significa dar um passo no sentido de resolver o problema em questão.
- As simetrias exibidas pelos sistemas físicos sugerem quais são as quantidades conservadas no problema. De fato, simetrias e constantes de movimento estão estreitamente relacionadas.
- Há um poderoso teorema, demonstrado no início do século XX, pela matemática **E. Noether**, que relaciona **simetrias contínuas** e **constantes de movimento**.

^aPor constante de movimento entendemos qualquer função das posições e velocidades das partículas do sistema e, eventualmente, do tempo, que assuma um mesmo valor ao longo de um movimento possível do sistema.

- O teorema de Noether garante que *para cada simetria contínua de um sistema está associada uma constante de movimento. Além disso, conhecida a simetria, o teorema nos fornece uma expressão para a quantidade conservada.*
- Esse teorema é de grande utilidade não apenas em Mecânica Clássica, mas em outras teorias, como por exemplo as teorias clássicas e quânticas de campo.
- Por exemplo, a **simetria esférica** de um sistema está relacionada com a **conservação do momento angular** do sistema.
- As **simetrias** de um sistema também estão relacionadas às chamadas **degenerescências** presentes no sistema^a.
- Em um problema de força central, duas órbitas congruentes, mas giradas entre si em torno do centro de força, são degeneradas.

^aUm problema em mecânica clássica possui **degenerescência** quando duas ou mais **órbitas diferentes possuem a mesma energia mecânica.**

- No entanto, no problema de Kepler há uma degenerescência inesperada. Como $E = -k/(2a)$, onde a é o semi-eixo maior da elipse (um resultado análogo também vale para as órbitas ilimitadas), órbitas com o mesmo semi-eixo maior, têm a **mesma energia** (e o **mesmo período**, pela 3^a Lei de Kepler).

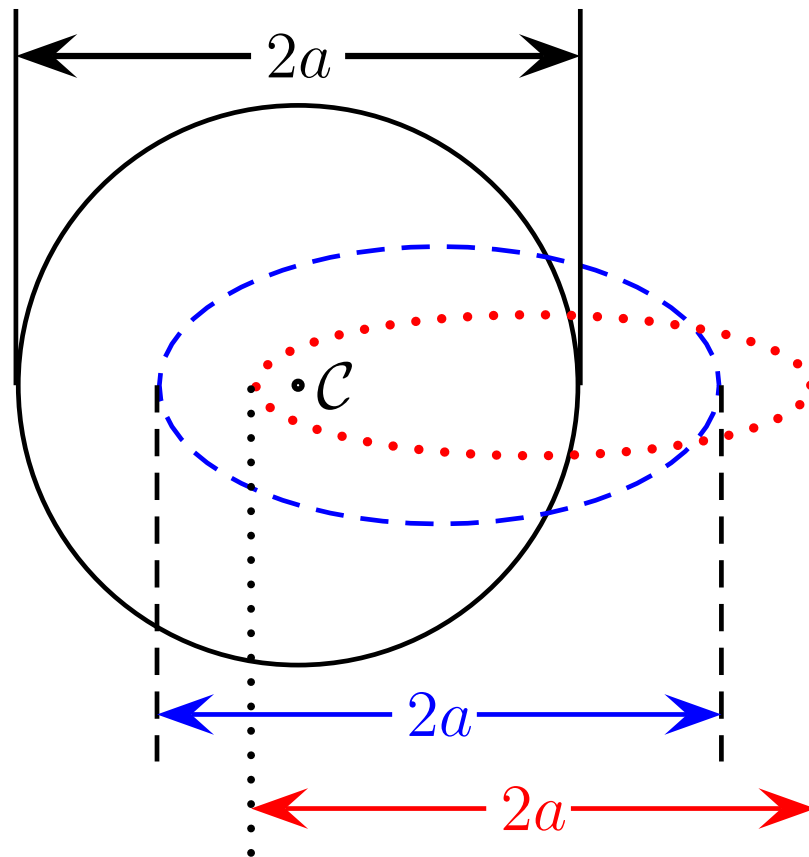


Figura 7: Órbitas degeneradas. O centro do círculo e um dos focos de cada elipse estão no centro de força \mathcal{C} .

- Essa degenerescência adicional parece estar relacionada ao fato de a órbita ser fechada (no caso das órbitas parabólicas ou hiperbólicas, ao fato de existir um eixo de simetria para a órbita).
- Isso sugere que busquemos uma constante de movimento que, de alguma forma, esteja relacionada com o fato de a órbita não sofrer precessão
- Essa constante de movimento existe: trata-se do vetor de **Laplace-Runge-Lenz**,

$$\mathbf{A} := \mathbf{p} \times \boldsymbol{\ell} - mk\hat{\mathbf{r}}. \quad (47)$$

As 3 constantes de movimento A_x , A_y e A_z são independentes entre si, mas estão relacionadas com a energia e o momento angular.

4.1 Um breve histórico

- Nem **C. Runge** e tampouco **W. Lenz** foram os 1^{os} a utilizar o vetor **A**. Nem mesmo **P.S. de Laplace**, que discutiu em detalhe suas propriedades em 1799, (*Traité de mécanique celeste*), foi o 1^o a descobrir que tal vetor é uma constante de movimento no problema de Kepler.

- Em 1924, ao utilizar o vetor \mathbf{A} para calcular níveis de energia no problema de Kepler perturbado (no contexto da mecânica quântica velha), Lenz se referiu a um livro de Runge sobre análise vetorial publicado em 1919.
- Runge mostrou que, se a força central que age na partícula variar com o inverso do quadrado da distância, o vetor \mathbf{A} é uma constante de movimento.
- Em 1926, W. Pauli mostrou como o vetor \mathbf{A} pode ser usado no cálculo do espectro do Hidrogênio por meio de um formalismo matricial da mecânica quântica. Pauli comenta que esse vetor já fôra utilizado por Lenz.
- O nome de Laplace tem sido agregado ao nome desse vetor, pois apresentou uma discussão detalhada sobre o assunto; afirmou que das sete constantes de movimento dadas por E , ℓ e \mathbf{A} apenas cinco delas são independentes entre si.
- Laplace deixa claro que, com essas 5 constantes de movimento, é possível obter a equação da órbita, como podemos apreciar lendo suas próprias palavras:

“Embora essas integrais sejam insuficientes para determinar x , y e z como funções do tempo, elas determinam a natureza da órbita.”

- **W.R. Hamilton** parece ter redescoberto independentemente o vetor **A**. Com efeito, em **1845**, Hamilton enviou para a Real Academia da Irlanda o artigo “*Applications of Quaternions to Some Dynamical Questions*”, no qual mostrou a existência de uma nova constante de movimento no problema de Kepler.
- Depois de **Laplace**, e antes de **Runge** e **Lenz**, muitos outros utilizaram o vetor **A**: **Maxwell**, **Thomson** e **Tait**, **Routh** e **Gibbs**, dentre outros.
- O 1º a discutir a existência do vetor **A** foi **Jakob Hermann**, um discípulo dos Bernoulli, que, em **1710**, utilizou as novas técnicas de cálculo introduzidas por Leibniz para obter a equação da órbita no problema de Kepler.
- Hermann reconheceu a relação dessa constante com a excentricidade da órbita. No mesmo ano, Hermann escreveu a **Johann I. Bernoulli** que generalizou o seu resultado (**1712**) permitindo orientações arbitrárias para a órbita.
- É curioso, para não dizer injusto, que a constante de movimento **A**, descoberta por **Hermann** e **J. I. Bernoulli**, seja denominada vetor de **Laplace-Runge-Lenz**.

4.2 Interpretação do vetor de Laplace-Runge-Lenz

- O vetor de Laplace-Runge-Lenz é, de fato, uma constante de movimento o problema de Kepler. Utilizando a equação de movimento

$$\frac{d\mathbf{p}}{dt} = -\frac{k}{r^2}\hat{\mathbf{r}}, \quad (k = GMm), \quad (48)$$

assim com a definição $\mathbf{A} = \mathbf{p} \times \boldsymbol{\ell} - km\hat{\mathbf{r}}$, temos

$$\begin{aligned} \frac{d\mathbf{A}}{dt} &= \frac{d\mathbf{p}}{dt} \times \boldsymbol{\ell} + \mathbf{p} \times \frac{d\boldsymbol{\ell}}{dt} - mk \frac{d\hat{\mathbf{r}}}{dt} \\ &= -\frac{k}{r^2}\hat{\mathbf{r}} \times (mr^2\dot{\varphi})\hat{\mathbf{z}} - mk\dot{\varphi}\hat{\boldsymbol{\varphi}} \\ &= \mathbf{0}, \end{aligned} \quad (49)$$

onde usamos o fato de que $\boldsymbol{\ell}$ é uma constante de movimento e $\hat{\mathbf{r}} \times \hat{\mathbf{z}} = -\hat{\boldsymbol{\varphi}}$.

- O vetor \mathbf{A} pertence ao plano da órbita:

$$\ell \cdot \mathbf{A} = \ell \cdot (\mathbf{p} \times \ell - mk\hat{\mathbf{r}}) \implies \ell \cdot \mathbf{A} = 0. \quad (50)$$

- Uma segunda relação entre as constantes \mathbf{A} , E e ℓ pode ser obtida:

$$\begin{aligned} \mathbf{A}^2 &= (\mathbf{p} \times \ell - mk\hat{\mathbf{r}}) \cdot (\mathbf{p} \times \ell - mk\hat{\mathbf{r}}) \\ &= (\mathbf{p} \times \ell)^2 + m^2k^2 - 2mk(\mathbf{p} \times \ell) \cdot \hat{\mathbf{r}} \\ &= p^2\ell^2 + m^2k^2 - \frac{2mk}{r} \mathbf{r} \cdot (\mathbf{p} \times \ell). \end{aligned} \quad (51)$$

Usando a relação $\mathbf{r} \cdot (\mathbf{p} \times \ell) = (\mathbf{r} \times \mathbf{p}) \cdot \ell = \ell^2$ e a expressão da conservação da energia, $p^2 = 2mE + 2mk/r$, obtemos

$$A^2 = \left(2mE + \frac{2mk}{r}\right) \ell^2 + m^2k^2 - \frac{2mk}{r} \ell^2, \quad (52)$$

o que nos permite escrever

$$\frac{A^2}{m^2k^2} = 1 + \frac{2E\ell^2}{mk^2}. \quad (53)$$

- Lembrando que $\varepsilon^2 = 1 + \frac{2E\ell^2}{mk^2}$, concluímos que $|\mathbf{A}| = mk\varepsilon$, ou seja, $|\mathbf{A}|$ mede a excentricidade da órbita no problema de Kepler.
- Portanto, das 7 constantes de movimento, $E, \ell_x, \ell_y, \ell_z, A_x, A_y$ e A_z , somente 5 são independentes entre si.
- **Equação da órbita:** tomando o produto escalar de \mathbf{A} com o vetor-posição da partícula, obtemos

$$r|\mathbf{A}| \cos(\varphi - \varphi_0) = \mathbf{r} \cdot (\mathbf{p} \times \boldsymbol{\ell} - mk\hat{\mathbf{r}}) = \ell^2 - mkr, \quad (54)$$

onde φ_0 é o ângulo que \mathbf{A} faz com o eixo polar e usamos, novamente, o fato de que $\mathbf{r} \cdot (\mathbf{p} \times \boldsymbol{\ell}) = \ell^2$. Rearrmando os termos da equação anterior, obtemos

$$r = \frac{\ell^2/mk}{1 + \frac{|\mathbf{A}|}{mk} \cos(\varphi - \varphi_0)}, \quad (55)$$

Caso ainda não soubéssemos a interpretação de $|\mathbf{A}|$, a última expressão deixaria evidente que $|\mathbf{A}|/mk = \varepsilon$.

- Devido à paridade da função cosseno, vemos que \mathbf{A} tem a direção do eixo de simetria da órbita (seja ela limitada ou ilimitada). Escolhemos, então, o eixo polar na direção do vetor \mathbf{A} ($\varphi_0 = 0$ ou $\varphi_0 = \pi$). Tomando $\varphi_0 = 0$, temos

$$r = \frac{\ell^2/mk}{1 + \varepsilon \cos\varphi} \quad \text{ou, ainda, na forma} \quad r = \frac{a(1 - \varepsilon^2)}{1 + \varepsilon \cos\varphi}, \quad (56)$$

onde a é o semi-eixo maior da elipse.

4.3 O problema de Kepler perturbado e precessão

- Se considerarmos pequenas perturbações tanto no problema de Kepler quanto no problema do OH isotrópico, as novas órbitas serão parecidas com as antigas, mas sofrerão uma precessão.
- É como se a partícula descrevesse a órbita antiga mas, com o passar do tempo, o eixo de simetria de sua órbita girasse lentamente. A velocidade angular de giro desse semi-eixo é denominada velocidade de precessão da órbita.
- **Objetivo:** tratar o problema de Kepler perturbado e mostrar como podemos utilizar o vetor \mathbf{A} no cálculo da velocidade de precessão da órbita perturbada.

- Consideremos uma partícula de massa m sujeita à força resultante

$$\mathbf{F} = -\frac{k}{r^2} \hat{\mathbf{r}} + \delta\mathbf{f}, \quad (57)$$

onde k é uma constante positiva e $\delta\mathbf{f}$ é uma pequena perturbação ($|\delta\mathbf{f}| \ll k/r^2$) que pode ou não ter o caráter central.

- Utilizando as equações

$$\frac{d\mathbf{p}}{dt} = -\frac{k}{r^2} \hat{\mathbf{r}} + \delta\mathbf{f} \quad \text{e} \quad \frac{d\boldsymbol{\ell}}{dt} = \mathbf{r} \times \delta\mathbf{f}, \quad (58)$$

a taxa de variação temporal $d\mathbf{A}/dt$ no **problema perturbado** é dada por

$$\frac{d\mathbf{A}}{dt} = \delta\mathbf{f} \times \boldsymbol{\ell} + \mathbf{p} \times (\mathbf{r} \times \delta\mathbf{f}), \quad (59)$$

- O método a ser apresentado se baseia no fato de que o vetor **A aponta na direção do semi-eixo maior** da órbita elíptica (do modo como definimos, no sentido do foco para o perihélio).

- Determinar a velocidade de precessão da órbita significa determinar a taxa temporal com que gira o vetor \mathbf{A} . Calcularemos **médias temporais em um período da órbita não-perturbada**.
- Nos cálculos dos valores médios, poderemos utilizar as relações válidas na órbita não-perturbada. Tomando a média temporal da equação (59), obtemos

$$\left\langle \frac{d\mathbf{A}}{dt} \right\rangle = \langle \delta\mathbf{f} \times \boldsymbol{\ell} \rangle + \langle \mathbf{p} \times (\mathbf{r} \times \delta\mathbf{f}) \rangle , \quad (60)$$

onde, por definição, a média temporal de uma função f no intervalo Δt é

$$\langle f(t) \rangle = \frac{1}{\Delta t} \int_t^{t+\Delta t} f(t') dt' . \quad (61)$$

Caso a função seja periódica, de período τ , a média temporal em um período independe do tempo, de modo que a equação anterior pode ser escrita na forma

$$\langle f(t) \rangle = \frac{1}{\tau} \int_t^{t+\tau} f(t') dt' = \frac{1}{\tau} \int_0^\tau f(t') dt' . \quad (62)$$

- É conveniente expressarmos $\langle d\mathbf{A}/dt \rangle$ na forma

$$\left\langle \frac{d\mathbf{A}}{dt} \right\rangle = \boldsymbol{\Omega} \times \mathbf{A}, \quad (63)$$

pois, desse modo, identificamos a velocidade média de precessão como $\boldsymbol{\Omega}$.

- Nas aplicações que faremos, calcularemos médias de funções periódicas do tipo $f(r(t), \varphi(t))$. Nesse caso, a equação (61) se reduz a

$$\langle f(r(t), \varphi(t)) \rangle = \frac{1}{\tau} \int_0^\tau f(r(t), \varphi(t)) dt. \quad (64)$$

Como não temos as dependências temporais de r e φ , mas apenas a equação da órbita $r(\varphi)$, é conveniente transformar a integração em t numa integração em φ . Fazemos isso com o auxílio da relação $\dot{\varphi} = \ell/mr^2$:

$$\begin{aligned} \langle f(r(t), \varphi(t)) \rangle &= \frac{1}{\tau} \int_0^{2\pi} f(r, \varphi) \frac{d\varphi}{\dot{\varphi}} \\ &= \frac{m}{\ell\tau} \int_0^{2\pi} r^2(\varphi) f(r(\varphi), \varphi) d\varphi. \end{aligned} \quad (65)$$

Aplicações

(a) Correção relativística à precessão de Mercúrio

- Traduzindo em termos de uma força perturbadora, a 1^a correção da teoria de Einstein (Relatividade Geral) à gravitação newtoniana é dada por

$$\delta \mathbf{f} = -3 \frac{\beta}{r^4} \hat{\mathbf{r}}; \quad \text{onde} \quad \beta := \frac{GM\ell^2}{mc^2}. \quad (66)$$

Pode-se verificar que $\beta \ll kr_0^2$, sendo r_0 o raio da órbita circular no problema de Kepler não-perturbado para uma partícula com momento angular de módulo ℓ .

- Uma perturbação do tipo, $\delta \mathbf{f} = -\frac{\gamma}{r^4} \hat{\mathbf{r}}$, ($\gamma > 0$) também pode representar o efeito do **achatamento da Terra sobre órbitas no plano equatorial**^a.

Como $\delta \mathbf{f}$ é central, $\mathbf{r} \times \delta \mathbf{f} = \mathbf{0}$, de modo que a equação (60) se reduz a

$$\left\langle \frac{d\mathbf{A}}{dt} \right\rangle = \langle \delta \mathbf{f} \times \boldsymbol{\ell} \rangle = 3\beta \boldsymbol{\ell} \times \left\langle \frac{\hat{\mathbf{r}}}{r^4} \right\rangle = 3\beta \left\langle \frac{\cos\varphi}{r^4} \right\rangle \boldsymbol{\ell} \times \hat{\mathbf{x}}, \quad (67)$$

^aA restrição de órbitas no plano equatorial se faz necessária pois o achatamento da Terra quebra a simetria esférica e dá origem a forças não-centrais (gera um termo de **quadrupolo** no potencial gravitacional).

onde, devido à **simetria da órbita não-perturbada**, usamos o resultado

$$\left\langle \frac{\hat{\mathbf{r}}}{r^4} \right\rangle = \left\langle \frac{\cos\varphi \hat{\mathbf{x}} + \sin\varphi \hat{\mathbf{y}}}{r^4} \right\rangle = \left\langle \frac{\cos\varphi}{r^4} \right\rangle \hat{\mathbf{x}}, \quad (68)$$

sendo $\hat{\mathbf{x}}$ o vetor unitário ao longo do eixo polar (direção e sentido do vetor \mathbf{A}).

Utilizando a equação (65) e a equação polar da órbita não-perturbada (56), obtemos

$$\begin{aligned} \left\langle \frac{\cos\varphi}{r^4} \right\rangle &= \frac{m}{\ell\tau} \int_0^{2\pi} \frac{\cos\varphi}{r^2(\varphi)} d\varphi \\ &= \frac{m}{\ell\tau a^2(1-\varepsilon^2)^2} \int_0^{2\pi} \cos\varphi(1+\varepsilon\cos\varphi)^2 d\varphi \\ &= \frac{m}{\ell\tau a^2(1-\varepsilon^2)^2} \int_0^{2\pi} 2\varepsilon\cos^2\varphi d\varphi \\ &= \frac{(2\pi/\tau)m\varepsilon}{\ell a^2(1-\varepsilon^2)^2}. \end{aligned} \quad (69)$$

- Substituindo esse resultado em (67), definindo $\omega := 2\pi/\tau$ e multiplicando em cima e em baixo o resultado assim encontrado por k , obtemos.

$$\left\langle \frac{d\mathbf{A}}{dt} \right\rangle = \left\{ \frac{3\beta\omega}{ka^2(1-\varepsilon^2)^2} \frac{\ell}{\ell} \right\} \times \underbrace{(mk\varepsilon)}_{\mathbf{A}} \hat{\mathbf{x}}, \quad (70)$$

resultado que nos permite identificar a velocidade de precessão média como

$$\boldsymbol{\Omega} = \frac{3\beta\omega}{ka^2(1-\varepsilon^2)^2} \frac{\ell}{\ell}; \quad |\boldsymbol{\Omega}| \approx 43''/sec. \quad (71)$$

- Nesse caso, $\beta > 0$, $\boldsymbol{\Omega}$ e ℓ têm mesma direção e mesmo sentido. O ângulo varrido pela partícula entre 2 pericentros consecutivos é **maior** do que 2π .
- **Temporalmente**, há um **atraso** na ocorrência do pericentro. No entanto, para $\beta > 0$, o vetor \mathbf{A} gira no mesmo sentido de giro da partícula, o que significa que, **espacialmente**, há um **avanço do pericentro** (relativo à órbita não-perturbada).
- No caso onde $\beta < 0$, ocorre exatamente o oposto: **temporalmente** há um **avanço** na ocorrência do pericentro, mas **espacialmente**, há um **retrocesso do pericentro** (relativo à órbita não-perturbada).

(b) *Força de resistência do ar:*

- Suponhamos que a força perturbadora causada pela resistência imposta pela atmosfera sobre um satélite artificial terrestre seja dada por

$$\delta \mathbf{f} = -\beta v^{n-1} \mathbf{v}, \quad \beta > 0, \quad (72)$$

onde $v = |\mathbf{v}|$. Substituindo (72) na expressão de $\left\langle \frac{d\mathbf{A}}{dt} \right\rangle$, equação (60), temos

$$\begin{aligned} \left\langle \frac{d\mathbf{A}}{dt} \right\rangle &= \left\langle -\beta v^{n-1} \mathbf{v} \times \boldsymbol{\ell} \right\rangle + \left\langle m \mathbf{v} \times [\mathbf{r} \times (-\beta v^{n-1} \mathbf{v})] \right\rangle \\ &= \left\langle -2\beta v^{n-1} \mathbf{v} \times \boldsymbol{\ell} \right\rangle. \end{aligned} \quad (73)$$

Substituindo a relação $\mathbf{v} \times \boldsymbol{\ell} = \mathbf{A}/m + k \hat{\mathbf{r}}$, na equação (73), obtemos

$$\left\langle \frac{d\mathbf{A}}{dt} \right\rangle = -\frac{2\beta}{m} \langle v^{n-1} \rangle \mathbf{A} - 2\beta k \langle v^{n-1} \hat{\mathbf{r}} \rangle, \quad (74)$$

onde usamos o fato de que na órbita não-perturbada \mathbf{A} permanece constante.

Novamente, devido à **simetria da órbita não-perturbada**, temos

$$\langle v^{n-1} \hat{\mathbf{r}} \rangle = \langle v^{n-1} \cos \varphi \rangle \hat{\mathbf{x}}. \quad (75)$$

- Lembrando que $\mathbf{A} = mk\varepsilon \hat{\mathbf{x}}$, a equação (74) pode ser escrita na forma

$$\left\langle \frac{d\mathbf{A}}{dt} \right\rangle = -\lambda(\varepsilon, k, \beta) \mathbf{A}, \quad (76)$$

onde definimos a constante positiva $\lambda(\varepsilon, k, \beta) = \frac{2\beta}{m\varepsilon} \langle v^{n-1}(\varepsilon + \cos\varphi) \rangle$. Como $\langle d\mathbf{A}/dt \rangle \propto \mathbf{A}$, concluímos que a resistência do ar não causa precessão.

- $\lambda > 0 \implies |\mathbf{A}|$ decresce com o tempo, fazendo com que a excentricidade da órbita perturbada vá diminuindo (a órbita vai tendendo a ficar mais circular).
- Caso particular em que $n = 1$ (resistência do ar é linear com a velocidade):

$$\left\langle \frac{d\mathbf{A}}{dt} \right\rangle = -\frac{2\beta}{m} (\mathbf{A} + mk \langle \hat{\mathbf{r}} \rangle). \quad (77)$$

Uma vez que $\langle \hat{\mathbf{r}} \rangle = \langle \cos\varphi \rangle \hat{\mathbf{x}} = -\varepsilon \hat{\mathbf{x}}$, temos, nesse caso,

$$\left\langle \frac{d\mathbf{A}}{dt} \right\rangle = -\frac{2\beta}{m} (\mathbf{A} - mk\varepsilon \hat{\mathbf{x}}) = \mathbf{0}. \quad (78)$$

Logo, para $\delta\mathbf{f} = -\beta\mathbf{v}$, o vetor $\mathbf{A} = Cte$ durante o movimento do satélite, ou seja, embora o tamanho de sua órbita vá diminuindo (há dissipação de energia) sua órbita não precessa nem muda de excentricidade.

(c) Precessão de Mercúrio causada pelos outros planetas:

- Desejamos calcular as contribuições (newtonianas) para a precessão de Mercúrio causadas pelos outros planetas do sistema solar.
- A contribuição newtoniana total é muito maior do que a contribuição da teoria da relatividade geral.
- Aproximações e hipóteses simplificadoras:
 - Os planetas que perturbam a órbita de Mercúrio têm órbitas circulares com centro no sol (cujo movimento é desprezado) e em um mesmo plano.
 - Cada um desses planetas será considerado como um anel homogêneo de massa igual à do planeta em consideração.
- Procedimento: calculamos, inicialmente, o potencial gravitacional criado por um anel na posição de Mercúrio e, desse modo, obtemos a força perturbadora de cada planeta. Aplicamos, então, o método baseado no vetor de Laplace-Runge-Lenz.

- A **Figura 8** mostra a órbita (elíptica) de Mercúrio e a órbita circular de um planeta perturbador apenas (totalmente fora de escala!). O potencial do anel na posição de Mercúrio é dada por

$$\Phi_p(\mathbf{r}) = -G \int_{anel} \frac{\lambda_p ds}{|\mathbf{r}_p - \mathbf{r}|}; \quad \lambda_p = \frac{M_p}{2\pi r_p}. \quad (79)$$

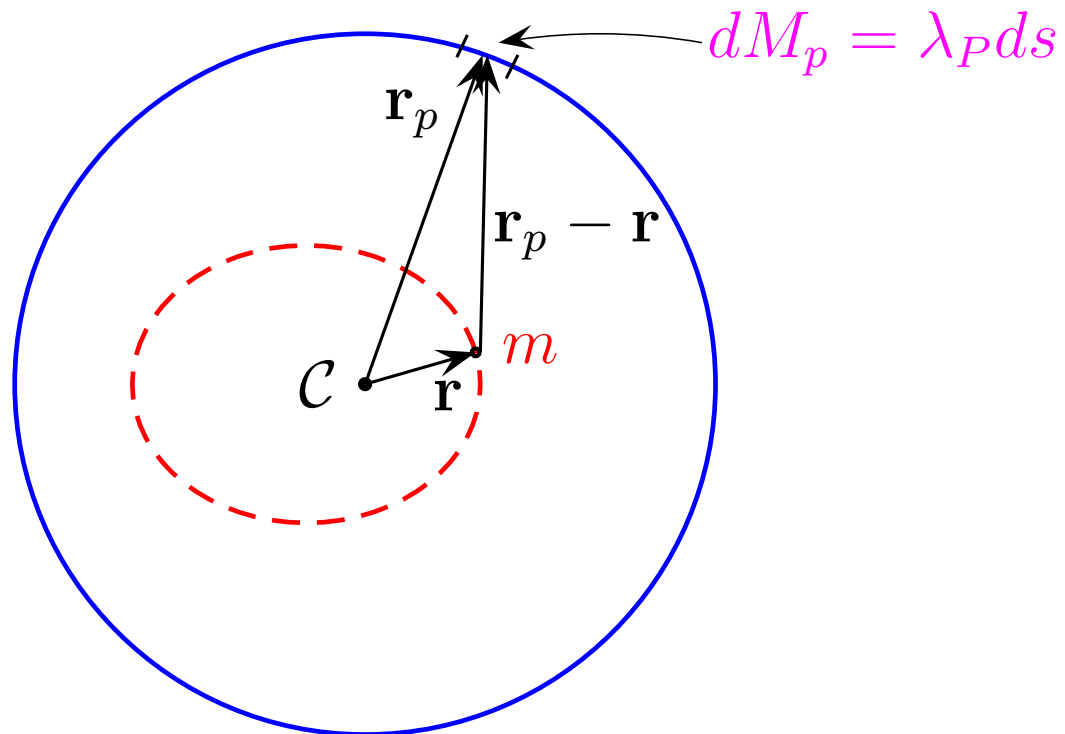


Figura 8: Órbita **elíptica de Mercúrio**. Anel **circular** representando o **planeta** perturbador de massa M_p .

- Definindo $\alpha = r/r_p$ e φ como o ângulo entre \mathbf{r} e \mathbf{r}_p , reescrevemos $\Phi(\mathbf{r})$ como

$$\Phi(r) = -\frac{GM_p}{\pi r_p} \int_0^\pi \frac{d\varphi}{\sqrt{1 + \alpha^2 - 2\alpha \cos\varphi}}. \quad (80)$$

Após uma pequena manipulação, a expressão anterior pode ser escrita na forma

$$\Phi(r) = -\frac{GM_p}{\pi r_p} K(\alpha), \quad (81)$$

onde K é a **função elíptica de 1ª espécie**, definida por

$$K(\alpha) = \int_0^{\pi/2} \frac{d\theta}{\sqrt{1 - \alpha^2 \operatorname{sen}^2\theta}}. \quad (82)$$

- Para calcularmos a força perturbadora $\delta\mathbf{f} = -m\nabla\Phi$, utilizaremos a identidade

$$\frac{\partial K(\alpha)}{\partial \alpha} = \frac{1}{\alpha} \left[\frac{E(\alpha)}{1 - \alpha} - K(\alpha) \right], \quad (83)$$

onde E é a **função elíptica de 2ª espécie**, definida por

$$E(\alpha) = \int_0^{\pi/2} \sqrt{1 - \alpha^2 \operatorname{sen}^2\theta} \, d\theta. \quad (84)$$

- A força perturbadora causada pelo planeta sobre Mercúrio é dada, então, por

$$\delta \mathbf{f} = -m \frac{\partial \Phi(r)}{\partial r} \hat{\mathbf{r}} = -m \frac{\partial \Phi(r)}{\partial \alpha} \frac{\partial \alpha}{\partial r} \hat{\mathbf{r}}, \quad (85)$$

o que nos fornece o resultado final

$$\delta \mathbf{f} = \frac{2GM_p m}{\pi r_p^2} \frac{1}{\alpha} \left[\frac{E(\alpha)}{1 - \alpha} - K(\alpha) \right] \hat{\mathbf{r}}, \quad \alpha = \frac{r}{r_p}. \quad (86)$$

- Aplicando o método baseado no vetor \mathbf{A} para essa força perturbadora, obtemos a velocidade de precessão causada em Mercúrio por um planeta qualquer, a saber,

$$\boldsymbol{\Omega} = -\frac{2M_p}{\tau \pi \varepsilon r_p M} \int_0^{2\pi} r(\theta) \left[\frac{E(\alpha)}{1 - \alpha^2} - K(\alpha) \right] \cos \theta d\theta \hat{\boldsymbol{\ell}}, \quad (87)$$

onde τ é o período de Mercúrio, M é a massa do Sol e $r(\theta) = \frac{a(1-\varepsilon^2)}{1+\varepsilon \cos \theta}$.

- Avaliando numericamente a expressão anterior, podemos obter as contribuições **newtonianas** de cada planeta para a precessão de Mercúrio (tabela a seguir):

A expressão **cálculo exato** aqui significa fazer o cálculo levando-se em conta que as órbitas planetárias são **elípticas** e que estão em **planos diferentes**.

Planeta	Ω (segundos/sec)	Cálculo exato
Venus	292,65	277,37
Terra + Lua	95,83	90,92
Marte	2,38	2,48
Júpiter	156,84	154,09
Saturno	7,57	7,32
Urano	0,14	0,14
Netuno	0,04	0,04
Total	555,45	532,36

- Contribuição newtoniana para a precessão de um certo planeta causada por outro planeta que tenha uma órbita de raio menor do que a sua:

$$\Phi'_p(r) = \frac{2GM_p}{\pi r} K(\alpha'); \implies \delta \mathbf{f} = -\frac{2GmM_p}{\pi r^2} \left(\frac{E(\alpha')}{1 - \alpha'^2} \right), \quad \alpha' = \frac{r_p}{r}. \quad (88)$$

$$\Omega = -\frac{2M_p}{\pi \tau M \varepsilon} \int_0^{2\pi} \left(\frac{E(\alpha')}{1 - \alpha'^2} \right) \cos \theta \, d\theta \, \hat{\ell} \quad (89)$$

Planeta	Ω (s/sec)-cont. de TODOS os planetas	Ω –Relatividade(s/sec)
Mercúrio	555,45	43
Venus	1207,59	8,5
Terra + Lua	1280,00	3,8
Marte	3358,00	1,4
Júpiter	752,25	0,06
Saturno	1887,43	0,01
Urano	277,11	0,002
Netuno	71,99	0,0008

5 Comentários finais

- Apresentamos, inicialmente, um estudo sobre movimento de uma partícula sob a ação de uma força central, com particular atenção para o problema de Kepler.
- Enunciamos o **Teorema de Bertrand** e fizemos alguns comentários sobre uma de suas demonstrações.
- Introduzimos o vetor de **Laplace-Runge-Lenz** no problema de Kepler e mostramos que se trata de uma constante de movimento (vetorial) que aponta na direção do eixo de simetria da cônica e cujo módulo dá a sua excentricidade.
- No problema de Kepler perturbado, apresentamos um método de cálculo de **velocidades de precessão** e fizemos aplicações: (a) correção da **relatividade geral**; (b) efeitos da **resistência do ar** e (c) contribuições dos **outros planetas**.
- Vários outros problemas podem ser analisados com esse método: partículas carregadas em **campo magnético**, efeitos da **reação de radiação** (pode-se mostrar, nesse caso, que **não há precessão**), etc.

- O método pode ser aplicado para órbitas com **qualquer excentricidade** e é muito conveniente para **perturbações não-centrais**.
- Vale comentar que as aplicações do vetor de Laplace-Runge-Lenz não se restringem ao contexto da Mecânica Clássica; esse vetor tem aplicações bem interessantes também em Mecânica Quântica (átomo de Hidrogênio, ..).
- **Perspectivas de trabalho:**
 - estudar **métodos alternativos** de cálculo de precessão e estabelecer a equivalência entre eles (incluindo o que acabamos de discutir).
 - desenvolver um **método análogo para o OH isotrópico perturbado** (definir um vetor na direção de um dos dois eixos de simetria e calcular sua taxa de giro)
 - aplicar o método a outros problemas, em particular, ao estudo da precessão de órbitas de **satélites terrestres não-equatoriais**.
 - estudar as possíveis aplicações do vetor de Laplace-Runge-Lenz no problema do **átomo de Hidrogênio perturbado**.

6 Bibliografia

1. J. Bertrand, *Mécanique analytique*, C.R. Acad. Sci. **77**, 849 (1873).
2. Nivaldo A. Lemos, *Mecânica Analítica* (Editora Livraria da Física, 2004), pg 35.
3. V.I. Arnold, *Mathematical Methods of Classical Mechanics* (Springer-Verlag, New York, 1978), pg 37.
4. H. Goldstein, *Classical Mechanics* (Addison Wesley, New York, 1981), Apêndice, pg 601.
5. J.V. José e E.J. Saletan, *Classical Dynamics* (Cambridge University Press, Cambridge, MA, 1998), pg 88.
6. Lowell S. Brown, *Forces giving no orbit precession*, Am. J. Phys. **46**, 930 (1978).
7. Yoel Tikochinsky, *A simplified proof of Bertrand's theorem*, Am. J. Phys. **56**, 1073 (1988).
8. Y. Zarmi, *The Bertrand theorem revisited*, Am J. Phys. **70**, 446 (2002).
9. R.P. Martínez-Romero, H.N. Núñez-Yépez e A.L. Salas-Brito, *Comment on "The Bertrand theorem revisited"*, Am. J. Phys. **70**, 1059 (2002).
10. C. Farina, *On the Lissajous figures for orbits*, Am. J. Phys. **53**, 903 (1985).
11. Herbert Goldstein, *Prehistory of the "Runge-Lenz" vector*, Am. J. Phys. **43**, 737 (1975).
12. Herbert Goldstein, *More on the prehistory of the Laplace or Runge-Lenz vector*, Am. J. Phys. **44**, 1123 (1976).
13. Jean Sivardière, *Precession of elliptic orbits*, Am. J. Phys. **52**, 909 (1984).

14. C.E. Aguiar e M.F. Barroso, *The Runge-Lenz vector and perturbed Rutherford scattering*, Am. J. Phys. **64** (1996) 1042.
15. K.T. McDonald, C. Farina e A.C. Tort, *Right and Wrong Use of the Lenz Vector for Non-Newtonian Potentials*, Am. J. Phys. **58** (1990), 540.
16. C. Farina e A.C. Tort, *A Simple Way of Evaluating the Speed of Precession of Orbits*, Am. J. Phys. **56** (1988) 761.
17. A. Tort, C. Farina e O.M. Ritter, *Perturbed Isotropic Harmonic Oscillator*, Eur. J. Phys. **10** (1989) 220.
18. D.E. Rutherford, *Classical Mechanics*, University Mathematical Texts; traduzido para o castellano por Editorial DOSSAT, S.A., Madrid.
19. W. Pauli, Z. Phys. **36**, 336 (1926); traduzido em *Sources of Quantum Mechanics*, editado por B.L. Van der Waerden (Dover, New York, 1968, pag. 387).
20. S. Borowitz, *Fundamentals of Quantum Mechanics; Particles, Waves and Wave Mechanics* (W.A. Benjamin, 1967).
21. L.I. Schiff, *Quantum Mechanics* (McGraw-Hill Companies 1968).